

# 剑叶耳草中的1个新咖啡酸苷化学成分及其抗肿瘤活性

陈明龙<sup>1</sup>, 王奎武<sup>1\*</sup>, 范新凤<sup>2</sup>

1. 浙江工商大学食品与生物工程学院, 浙江 杭州 310018

2. 浙江工商大学 公共事务管理处, 浙江 杭州 310018

**摘要:** 目的 研究剑叶耳草 *Hedyotis caudatifolia* 的化学成分。方法 采用硅胶、聚酰胺、Sephadex LH-20 凝胶等柱色谱技术进行分离纯化, 通过化合物的核磁共振、质谱等光谱数据和理化性质鉴定其结构。结果 从剑叶耳草的甲醇提取物中分离得到 10 个化合物, 其结构分别鉴定为剑叶耳草苷 A (1)、 $\beta$ -谷甾醇 (2)、5 $\alpha$ -豆甾烷-3,6-二酮 (3)、7-羟基-6-甲氧基香豆素 (4)、齐墩果酸 (5)、乌苏酸 (6)、坡模酸 (7)、3 $\alpha$ ,19 $\alpha$ -二羟基-12-烯-24,28-乌苏酸 (8)、2 $\alpha$ ,3 $\beta$ ,24-三羟基-12-烯-28-齐墩果酸 (9)、2 $\alpha$ ,3 $\alpha$ -二羟基-12-烯-28-齐墩果酸 (10)。结论 化合物 1 为新的咖啡酸葡萄糖苷, 化合物 7~10 均为首次从该植物中分离得到。化合物 1 具有一定的抑制肿瘤细胞生长活性。

**关键词:** 茜草科; 剑叶耳草; 剑叶耳草苷 A; 坡模酸; 3 $\alpha$ ,19 $\alpha$ -二羟基-12-烯-24,28-乌苏酸; 细胞毒性

**中图分类号:** R284.1      **文献标志码:** A      **文章编号:** 0253 - 2670(2019)01 - 0025 - 05

**DOI:** 10.7501/j.issn.0253-2670.2019.01.006

## A new caffeoyl glucoside from *Hedyotis caudatifolia* with antitumor activity

CHEN Ming-long<sup>1</sup>, WANG Kui-wu<sup>1</sup>, FAN Xin-feng<sup>2</sup>

1. College of Food Science and Biotechnology, Zhejiang Gongshang University, Hangzhou 310018, China

2. Office of Public Affairs Management, Zhejiang Gongshang University, Hangzhou 310018, China

**Abstract: Objective** To study the chemical constituents of *Hedyotis caudatifolia*. **Methods** These compounds were isolated from *H. caudatifolia* and purified by repeated silica gel, polyamine, Sephadex LH-20 column chromatography and other methods. Their structures were identified by NMR, MS, and physico-chemical properties. **Results** Ten compounds were isolated and elucidated as hedycaffeoylglucoside A (1),  $\beta$ -sitosterol (2), 5 $\alpha$ -stigmastane-3,6-dione (3), 7-hydroxy-6-methoxycoumarin (4), oleanolic acid (5), ursolic acid (6), pomolic acid (7), 3 $\alpha$ ,19 $\alpha$ -dihydroxyurs-12-en-24,28-dioic acid (8), 2 $\alpha$ ,3 $\beta$ ,24-trihydroxyolean-12-en-28-oic acid (9), and 2 $\alpha$ ,3 $\alpha$ -dihydroxyolean-12-en-28-oic acid (10), respectively. **Conclusion** Compound 1 is a new caffeoyl glucoside and compounds 7—10 are isolated from this plant for the first time. Compound 1 exhibits cytotoxicity against four tumor cells.

**Key words:** Rubiaceae; *Hedyotis caudatifolia* Merr. et Metcalf; hedycaffeoylglucoside A; pomolic acid; 3 $\alpha$ ,19 $\alpha$ -dihydroxyurs-12-en-24,28-dioic acid; cytotoxicity

剑叶耳草 *Hedyotis caudatifolia* Merr. et Metcalf 为茜草科耳草属植物, 产于我国广东、广西、福建、江西、浙江(南部)、湖南等省区<sup>[1]</sup>。其性平、味甜、凉、无毒, 具有止咳化痰、健脾消积、消积止血、疏风退热、润肺等功效<sup>[2]</sup>。该属植物的活性成分主要包括香豆素类、甾体类、三萜类、蒽醌类等<sup>[3-10]</sup>。目前, 对剑叶耳草化学成分研究相对较少<sup>[11]</sup>, 因此对其进行化学成分研究, 从中发现一些结构新颖的活性成分, 将对进一步开发利用剑叶耳草具有重要意义。

本课题组利用正相硅胶柱色谱、聚酰胺柱色谱、Sephadex LH-20 凝胶色谱等现代色谱技术对剑叶耳草的化学成分进行了系统研究, 分离得到了 10 个化合物, 分别鉴定为剑叶耳草苷 A (hedycaffeoylglucoside A, 1)、 $\beta$ -谷甾醇 ( $\beta$ -sitosterol, 2)、5 $\alpha$ -豆甾烷-3,6-二酮 (5 $\alpha$ -stigmastane-3,6-dione, 3)、7-羟基-6-甲氧基香豆素 (7-hydroxy-6-methoxycoumarin, 4)、齐墩果酸 (oleanolic acid, 5)、乌苏酸 (ursolic acid, 6)、坡模酸 (pomolic acid, 7)、3 $\alpha$ ,19 $\alpha$ -二羟基-12-烯-24,28-乌苏酸 (8)、2 $\alpha$ ,3 $\beta$ ,24-三羟基-12-烯-28-齐墩果酸 (9)、2 $\alpha$ ,3 $\alpha$ -二羟基-12-烯-28-齐墩果酸 (10)。

收稿日期: 2018-09-07

基金项目: 国家自然科学基金面上项目 (31170701)

作者简介: 陈明龙, 硕士研究生, 研究方向为食品化学。E-mail: 1935417005@qq.com

\*通信作者 王奎武, 男, 研究员, 博士生导师, 研究方向为食品化学、天然产物化学。Tel: 13666618726 E-mail: wkwnpc@zjgsu.edu.cn

二羟基-12-烯-24,28-乌苏酸 ( $3\alpha,19\alpha$ -dihydroxyurs-12-en-24,28-dioic acid, **8**)、 $2\alpha,3\beta,24$ -三羟基-12-烯-28-齐墩果酸 ( $2\alpha,3\beta,24$ -trihydroxyolean-12-en-28-oic acid, **9**)、 $2\alpha,3\alpha$ -二羟基-12-烯-28-齐墩果酸 ( $2\alpha,3\alpha$ -dihydroxyolean-12-en-28-oic acid, **10**)。化合物**1**为新的咖啡酸葡萄糖苷, 化合物**7~10**均为首次从该植物中分离得到。采用MTT法<sup>[12~13]</sup>测定了化合物**1**对4种肿瘤细胞生长的影响, 结果显示其具有一定抑制肿瘤细胞生长活性。

## 1 仪器与材料

Buchi M565型熔点仪(瑞士步琦公司); Bruker AVANCE III 500型核磁共振仪(德国布鲁克公司); 内标为TMS ( $^1\text{H}$ - 和  $^{13}\text{C}$ -NMR 分别为 500 MHz 和 125 MHz); 低分辨质谱 Thermo LCQ FLEET 型电喷雾质谱仪(美国赛默飞世尔科技公司); 高分辨质谱 Waters Synapt G2(美国沃特世公司); GF<sub>254</sub>高效薄层色谱硅胶板(烟台汇友硅胶开发有限公司); 柱色谱用硅胶(青岛海洋化工有限公司), 聚酰胺(国药集团化学试剂有限公司); Sephadex LH-20(美国法玛西亚公司); 所用试剂均为分析纯。

剑叶耳草购自广西玉林中药材市场, 由浙江大学吴斌教授鉴定为茜草科耳草属植物剑叶耳草 *Hedyotis caudatifolia* Merr. et Metcalf, 标本(HC-20150901)保存在浙江工商大学食品与生物工程学院天然活性物质研究实验室。

## 2 提取与分离

剑叶耳草样品(25 kg)干燥后粉碎, 用甲醇室温下冷浸提取3次(每次1周), 料液比约为1:5, 提取液真空抽滤后, 经旋转蒸发仪减压浓缩, 回收溶剂, 得到总浸膏。将浸膏分散于水中, 使之成悬浮状, 依次用等体积的石油醚、醋酸乙酯分别萃取3次。静置分层, 分离有机相, 在减压条件下旋转蒸发浓缩, 回收溶剂, 得到石油醚萃取物(103 g)、醋酸乙酯萃取物(407 g)。

醋酸乙酯萃取物利用硅胶柱色谱(1 000 mm×90 mm, 100~200目)进行初步分离, 依次用石油醚-醋酸乙酯(8:1、6:1、4:1、1:1、1:2、1:4、0:1)梯度洗脱, TLC检测合并后得到9个组分(Fr. 1~9)。Fr. 1进一步经硅胶柱色谱(200~300目)分离纯化, 用石油醚-醋酸乙酯(8:1、5:1、4:1)梯度洗脱, 得到化合物**1**(7.8 mg)。Fr. 3进一步经硅胶柱色谱分离纯化, 用石油醚-醋酸乙酯(6:1、5:1、4:1、3:1)梯度洗脱, 得到化合物

**2**(2.9 mg)。Fr. 5再次经硅胶柱色谱分离纯化, 用石油醚-醋酸乙酯(5:1、3:1、1:1)梯度洗脱, 得到化合物**3**(92.2 mg)、**4**(60.7 mg)和**5**(72.3 mg)。Fr. 6经硅胶柱色谱纯化, 用石油醚-醋酸乙酯(4:1、2:1、1:2)梯度洗脱, 根据TLC分析结果, 共得到7个亚组分(Fr. 6-1~6-7), Fr. 6-2进一步采用Sephadex LH-20凝胶柱色谱分离纯化, 甲醇洗脱得到化合物**4**(9.2 mg)和**6**(3.7 mg)。Fr. 7经硅胶柱色谱纯化, 石油醚-醋酸乙酯(4:1、3:1、1:1、1:3)梯度洗脱, 得到化合物**7**(90.3 mg)。Fr. 8进一步用Sephadex LH-20凝胶柱色谱纯化, 甲醇洗脱, 得到化合物**8**(2.2 mg)。

水相采用聚酰胺色谱柱进行粗分, 以25%、50%、75%、95%乙醇-水为洗脱剂, 得到4个组分。50%乙醇-水洗脱部分(23.6 g)进一步采用硅胶柱色谱, 二氯甲烷-甲醇(5:1、3:1、1:1)洗脱, 得到化合物**9**(9.6 mg)和**10**(3.3 mg)。

## 3 结构鉴定

化合物**1**: 白色无定形粉末, 高分辨质谱 HR-ESI-MS 测定值(负离子模式)  $m/z$ : 647.160 3 [2M-H]<sup>-</sup> (计算值 647.161 2), 确定该化合物的分子式为  $\text{C}_{15}\text{H}_{16}\text{O}_8$ , 相对分子质量为 324, 不饱和度为 8。

$^1\text{H}$ -NMR(500 MHz, DMSO-*d*<sub>6</sub>) 谱(表 1)中显示有1个反式双键  $\delta_{\text{H}}$  7.46(1H, d, *J*=16.0 Hz), 6.43(1H, d, *J*=16.0 Hz); 在低场区给出3个芳香质子  $\delta_{\text{H}}$  7.21(2H, m), 7.10(1H, d, *J*=1.5 Hz) 和1个酚羟基质子  $\delta_{\text{H}}$  8.89(1H, s), 推测该化合物含有1个3取代苯环基团; 在  $\delta_{\text{H}}$  3.00~5.00 处有7个质子信号  $\delta_{\text{H}}$  4.95(1H, d, *J*=7.2 Hz), 3.38(1H, m, overlapped), 3.38(1H, m, overlapped), 3.71(1H, m), 3.79(1H, m), 4.15(1H, t, *J*=11.0 Hz), 4.36(1H, dd, *J*=2.0, 11.0 Hz), 推测存在糖分子结构单元。 $^{13}\text{C}$ -NMR(125 MHz, DMSO-*d*<sub>6</sub>) 谱显示  $\delta_{\text{C}}$  166.4 为羧基碳信号, 在  $\delta_{\text{C}}$  116.2~147.4 处存在8个碳原子, 结合氢谱数据推测为咖啡酸结构单元; 在  $\delta_{\text{C}}$  64.0~102.0 处存在6个碳原子吸收峰, 其碳谱和氢谱数据与葡萄糖的相似, 所以推测化合物含有1个葡萄糖基。

在HMBC谱中葡萄糖基中的H-1'( $\delta_{\text{H}}$  4.95)与咖啡酸苯环上的C-3( $\delta_{\text{C}}$  147.1)有远程相关, 葡萄糖基中的H-6'( $\delta_{\text{H}}$  4.15, 4.36)显示与羧基碳C-9( $\delta_{\text{C}}$  166.4)有远程相关, 表明葡萄糖基连接在咖啡酸的3位, 同时6'-羟基与咖啡酸的羧基失水形成了酯键,

表1 化合物1的NMR数据归属(500/125 MHz, DMSO-d<sub>6</sub>)Table 1 NMR data (500/125 MHz, DMSO-d<sub>6</sub>) of compound 1

碳位	$\delta_{\text{H}}$	$\delta_{\text{C}}$	<sup>1</sup> H- <sup>1</sup> H COSY	HMBC (H→C)
1	—	128.7 (s)		
2	7.10 (1H, d, $J = 1.5$ Hz)	116.2 (d)		C-4, 6, 7
3	—	147.1 (s)		
4	—	147.4 (s)		
5	7.21 (1H, m, overlapped)	116.3 (d)	H-6	C-1, 3
6	7.21 (1H, m, overlapped)	120.2 (d)	H-5	C-2, 4
7	7.46 (1H, d, $J = 16.0$ Hz)	144.7 (d)	H-8	C-2, 6, 9
8	6.43 (1H, d, $J = 16.0$ Hz)	116.4 (d)	H-7	C-1, 9
9	—	166.4 (s)		
1'	4.95 (1H, d, $J = 7.2$ Hz)	100.6 (d)	H-2'	C-2', 3
2'	3.38 (1H, m, overlapped)	73.6 (d)	H-1'	C-1', 3'
3'	3.38 (1H, m, overlapped)	76.5 (d)	H-4'	C-1', 2'
4'	3.19 (1H, m)	71.6 (d)	H-3', 5'	C-3'
5'	3.79 (1H, m)	74.1 (d)	H-4', 6'	C-1', 4'
6'	4.15 (1H, t, $J = 11.0$ Hz), 4.36 (1H, dd, $J = 2.0, 11.0$ Hz)	64.7 (t)	H-5'	C-5', 9

即葡萄糖基与咖啡酸形成了1个环状结构。化合物1的NMR的数据与文献报道<sup>[14]</sup>中咖啡酸-3-O-葡萄糖苷的数据非常接近,与文献数据相比,化合物1的C-9和C-5'的吸收峰高场位移 $\delta$  2.00~3.00,而C-6'的吸收峰低场位移 $\delta$  3.60,因此推测化合物1为咖啡酸-3-O-葡萄糖苷的羧酸与葡萄糖上6'位羟基失水后形成的环状衍生物是合理的。葡萄糖基中的H-1'化学位移值、偶合常数( $\delta_{\text{H}} 4.95$ , 1H, d,  $J = 7.2$  Hz),以及C-1'的化学位移值( $\delta_{\text{C}} 100.6$ )表明糖苷键为 $\beta$ -构型。综合以上信息,鉴定化合物1的结构如图1所示,为新化合物,命名为剑叶耳草苷A,核磁数据归属见表1。

化合物2:无色针晶(氯仿),mp 139~142 °C, ESI-MS测定值(正离子模式) $m/z$ : 437 [M+Na]<sup>+</sup>, Liebermann-Burchard反应呈阳性,10%硫酸-乙醇显

紫红色斑点。与 $\beta$ -谷甾醇对照品对照3个不同体系展开Rf值均相同,与对照品混合后Rf值一致,仍为一个斑点,且熔点不下降,故鉴定化合物2为 $\beta$ -谷甾醇。

化合物3:白色针状结晶(氯仿),mp 179~181 °C, ESI-MS测定值(正离子模式) $m/z$ : 451 [M+Na]<sup>+</sup>。<sup>1</sup>H-NMR (500 MHz, DMSO-d<sub>6</sub>)  $\delta$ : 0.69 (3H, s, 18-CH<sub>3</sub>), 0.80~0.84 (9H, m, 26, 27, 29-CH<sub>3</sub>), 0.93 (3H, d,  $J = 6.4$  Hz, 21-CH<sub>3</sub>), 0.96 (3H, s, 19-CH<sub>3</sub>); <sup>13</sup>C-NMR (125 MHz, DMSO-d<sub>6</sub>)  $\delta$ : 38.1 (C-1), 37.4 (C-2), 211.2 (C-3), 37.0 (C-4), 57.5 (C-5), 209.1 (C-6), 46.6 (C-7), 38.0 (C-8), 53.5 (C-9), 41.3 (C-10), 21.7 (C-11), 39.4 (C-12), 43.0 (C-13), 56.6 (C-14), 24.0 (C-15), 28.0 (C-16), 56.0 (C-17), 12.0 (C-18), 12.6 (C-19), 36.0 (C-20), 18.7 (C-21), 33.8 (C-22), 26.1 (C-23), 45.8 (C-24), 29.2 (C-25), 19.0 (C-26), 19.8 (C-27), 23.1 (C-28), 12.0 (C-29)。与文献数据对比<sup>[15]</sup>,故鉴定化合物3为5 $\alpha$ -豆甾烷-3,6-二酮。

化合物4:淡黄色针晶(氯仿),mp 210~211 °C, ESI-MS(负离子模式) $m/z$ : 191 [M-H]<sup>-</sup>。<sup>1</sup>H-NMR (500 MHz, CDCl<sub>3</sub>)  $\delta$ : 3.96 (3H, s, -OCH<sub>3</sub>), 6.28 (1H, d,  $J = 9.5$  Hz, H-3), 7.61 (1H, d,  $J = 9.5$  Hz, 4-H), 6.85 (1H, s, H-5), 6.92 (1H, s, H-8); <sup>13</sup>C-NMR (125 MHz, CDCl<sub>3</sub>)  $\delta$ : 161.4 (C-2), 113.5 (C-3), 143.3 (C-4), 107.6

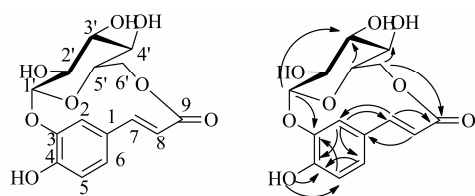


图1 化合物1化学结构及主要的HMBC相关信息

Fig. 1 Chemical structure and key HMBC correlations of compound 1

(C-5), 144.0 (C-6), 150.3 (C-7), 103.2 (C-8), 149.8 (C-9), 111.5 (C-10), 56.5 (-OCH<sub>3</sub>)。以上数据与文献数据对比<sup>[16]</sup>, 故鉴定化合物 4 为 7-羟基-6-甲氧基香豆素。

**化合物 5:** 白色粉末状固体, mp 308~310 °C, ESI-MS (负离子模式) *m/z*: 455 [M-H]<sup>-</sup>。<sup>1</sup>H-NMR (500 MHz, DMSO-*d*<sub>6</sub>) δ: 0.67 (3H, s, -CH<sub>3</sub>), 0.68 (6H, s, 2×-CH<sub>3</sub>), 0.80 (3H, s, -CH<sub>3</sub>), 0.83 (3H, s, -CH<sub>3</sub>), 0.88 (3H, s, -CH<sub>3</sub>), 1.04 (3H, s, -CH<sub>3</sub>), 3.10 (1H, brs, H-3), 5.20 (1H, brs, H-12); <sup>13</sup>C-NMR (125 MHz, DMSO-*d*<sub>6</sub>) δ: 38.5 (C-1), 27.4 (C-2), 77.3 (C-3), 38.8 (C-4), 55.3 (C-5), 18.5 (C-6), 32.9 (C-7), 39.3 (C-8), 47.6 (C-9), 37.1 (C-10), 23.1 (C-11), 122.0 (C-12), 144.3 (C-13), 41.8 (C-14), 27.7 (C-15), 23.4 (C-16), 46.1 (C-17), 41.3 (C-18), 45.9 (C-19), 30.9 (C-20), 33.8 (C-21), 32.6 (C-22), 28.7 (C-23), 16.5 (C-24), 15.6 (C-25), 17.3 (C-26), 26.1 (C-27), 179.0 (C-28), 33.3 (C-29), 23.8 (C-30)。与文献数据对比<sup>[17]</sup>, 故鉴定化合物 5 为齐墩果酸。

**化合物 6:** 白色粉末状固体, mp 259~261 °C, ESI-MS (负离子模式) *m/z*: 455 [M-H]<sup>-</sup>。<sup>1</sup>H-NMR (500 MHz, DMSO-*d*<sub>6</sub>) δ: 0.68 (3H, s, 24-CH<sub>3</sub>), 0.75 (3H, s, 26-CH<sub>3</sub>), 0.80 (3H, d, *J* = 6.5 Hz, 29-CH<sub>3</sub>), 0.87 (3H, s, 27-CH<sub>3</sub>), 0.89 (3H, s, 25-CH<sub>3</sub>), 0.92 (3H, d, *J* = 6.3 Hz, 30-CH<sub>3</sub>), 1.04 (3H, s, 23-CH<sub>3</sub>), 4.29 (1H, brs, H-3), 5.12 (1H, brs, H-12); <sup>13</sup>C-NMR (125 MHz, DMSO-*d*<sub>6</sub>) δ: 33.2 (C-1), 27.5 (C-2), 77.3 (C-3), 38.9 (C-4), 55.2 (C-5), 18.5 (C-6), 36.8 (C-7), 39.6 (C-8), 47.5 (C-9), 37.0 (C-10), 23.7 (C-11), 125.0 (C-12), 138.7 (C-13), 42.1 (C-14), 28.0 (C-15), 24.3 (C-16), 47.3 (C-17), 52.8 (C-18), 39.0 (C-19), 38.8 (C-20), 30.7 (C-21), 38.7 (C-22), 28.7 (C-23), 15.7 (C-24), 16.5 (C-25), 17.5 (C-26), 23.3 (C-27), 178.7 (C-28), 17.4 (C-29), 21.5 (C-30)。与文献数据对比<sup>[18]</sup>, 故鉴定化合物 6 为乌苏酸。

**化合物 7:** 白色粉末状固体, mp 301~303 °C, ESI-MS (负离子模式) *m/z*: 471 [M-H]<sup>-</sup>。<sup>1</sup>H-NMR (500 MHz, DMSO-*d*<sub>6</sub>) δ: 0.90 (3H, s, 25-CH<sub>3</sub>), 1.04 (3H, s, 24-CH<sub>3</sub>), 1.10 (3H, s, 26-CH<sub>3</sub>), 1.12 (3H, d, *J* = 6.6 Hz, 30-CH<sub>3</sub>), 1.21 (3H, s, 23-CH<sub>3</sub>), 1.44 (3H, s, 29-CH<sub>3</sub>), 1.73 (3H, s, 27-CH<sub>3</sub>), 3.42 (1H, t, *J* = 4.8 Hz, H-3), 5.60 (1H, t, *J* = 3.6 Hz, H-12); <sup>13</sup>C-NMR (125 MHz, DMSO-*d*<sub>6</sub>) δ: 38.1 (C-1), 26.9 (C-2), 76.8 (C-3),

38.3 (C-4), 54.8 (C-5), 18.0 (C-6), 32.6 (C-7), 41.0 (C-8), 46.8 (C-9), 36.5 (C-10), 23.0 (C-11), 126.7 (C-12), 138.5 (C-13), 46.6 (C-14), 28.2 (C-15), 25.1 (C-16), 42.1 (C-17), 53.1 (C-18), 71.6 (C-19), 41.3 (C-20), 25.8 (C-21), 37.1 (C-22), 28.0 (C-23), 15.0 (C-24), 15.9 (C-25), 16.5 (C-26), 23.8 (C-27), 178.8 (C-28), 26.3 (C-29), 16.2 (C-30)。与文献数据对比<sup>[19]</sup>, 故鉴定化合物 7 为坡模酸。

**化合物 8:** 白色粉末状固体, mp 299~300 °C, ESI-MS (负离子模式) *m/z*: 501 [M-H]<sup>-</sup>。<sup>1</sup>H-NMR (500 MHz, DMSO-*d*<sub>6</sub>) δ: 0.72 (3H, s, 26-CH<sub>3</sub>), 0.79 (3H, s, 25-CH<sub>3</sub>), 1.08 (3H, s, 29-CH<sub>3</sub>), 0.85 (3H, d, *J* = 6.4 Hz, 30-CH<sub>3</sub>), 1.12 (3H, s, 23-CH<sub>3</sub>), 1.31 (3H, s, 27-CH<sub>3</sub>), 3.80 (1H, brs, H-3), 5.17 (1H, brs, H-12); <sup>13</sup>C-NMR (125 MHz, DMSO-*d*<sub>6</sub>) δ: 37.7 (C-1), 28.5 (C-2), 69.4 (C-3), 47.2 (C-4), 48.6 (C-5), 20.1 (C-6), 33.5 (C-7), 40.6 (C-8), 46.3 (C-9), 37.6 (C-10), 23.6 (C-11), 127.5 (C-12), 139.0 (C-13), 41.8 (C-14), 25.7 (C-15), 26.4 (C-16), 47.4 (C-17), 53.8 (C-18), 72.1 (C-19), 41.9 (C-20), 26.8 (C-21), 37.6 (C-22), 24.7 (C-23), 179.4 (C-24), 13.4 (C-25), 17.1 (C-26), 24.3 (C-27), 179.4 (C-28), 26.9 (C-29), 16.8 (C-30)。与文献数据对比<sup>[20]</sup>, 故鉴定化合物 8 为 3 $\alpha$ ,19 $\alpha$ -二羟基-12-烯-24,28-乌苏酸。

**化合物 9:** 白色粉末状固体, mp 188~190 °C, ESI-MS (负离子模式) *m/z*: 487 [M-H]<sup>-</sup>。<sup>1</sup>H-NMR (500 MHz, DMSO-*d*<sub>6</sub>) δ: 0.67 (3H, s, -CH<sub>3</sub>), 0.86 (6H, s, 2×-CH<sub>3</sub>), 0.92 (3H, s, -CH<sub>3</sub>), 1.09 (6H, s, 2×-CH<sub>3</sub>), 3.52 (1H, m, H-2), 3.71 (1H, d, *J* = 10.8 Hz, H-3), 5.16 (1H, t, *J* = 3.8 Hz, H-12); <sup>13</sup>C-NMR (125 MHz, DMSO-*d*<sub>6</sub>) δ: 33.2 (C-1), 68.8 (C-2), 80.6 (C-3), 40.1 (C-4), 49.5 (C-5), 18.7 (C-6), 28.3 (C-7), 37.1 (C-8), 47.7 (C-9), 35.4 (C-10), 23.8 (C-11), 122.8 (C-12), 143.9 (C-13), 41.6 (C-14), 27.7 (C-15), 25.6 (C-16), 45.2 (C-17), 43.7 (C-18), 33.5 (C-19), 30.4 (C-20), 32.8 (C-21), 29.0 (C-22), 23.2 (C-23), 64.6 (C-24), 15.7 (C-25), 15.8 (C-26), 25.6 (C-27), 179.7 (C-28), 33.2 (C-29), 24.6 (C-30)。与文献数据对比<sup>[21]</sup>, 故鉴定化合物 9 为 2 $\alpha$ ,3 $\beta$ ,24-三羟基-12-烯-28-齐墩果酸。

**化合物 10:** 白色粉末状固体, mp 295~298 °C, ESI-MS (负离子模式) *m/z*: 471 [M-H]<sup>-</sup>。<sup>1</sup>H-NMR (500 MHz, DMSO-*d*<sub>6</sub>) δ: 0.81 (3H, s, -CH<sub>3</sub>), 0.87 (3H,

s, -CH<sub>3</sub>), 0.91 (3H, s, -CH<sub>3</sub>), 0.95 (3H, s, -CH<sub>3</sub>), 0.99 (6H, s, 2×-CH<sub>3</sub>), 1.18 (3H, s, -CH<sub>3</sub>), 2.85 (1H, m, H-18), 3.33 (1H, s, H-3), 3.93 (1H, m, H-2), 5.26 (1H, brs, H-12); <sup>13</sup>C-NMR (125 MHz, DMSO-d<sub>6</sub>) δ: 42.9 (C-1), 68.9 (C-2), 80.7 (C-3), 41.3 (C-4), 49.5 (C-5), 18.7 (C-6), 33.8 (C-7), 41.6 (C-8), 47.7 (C-9), 40.6 (C-10), 24.6 (C-11), 122.8 (C-12) 143.9 (C-13), 43.7 (C-14), 28.3 (C-15), 25.0 (C-16), 49.4 (C-17), 41.8 (C-18), 47.5 (C-19), 30.9 (C-20), 33.4 (C-21), 35.4 (C-22), 23.1 (C-23), 29.8 (C-24), 17.2 (C-25), 18.6 (C-26), 26.1 (C-27), 179.6 (C-28), 33.3 (C-29), 23.8 (C-30)。与文献数据对比<sup>[22]</sup>,故鉴定化合物**10**为2α,3α-二羟基-12-烯-28-齐墩果酸。

#### 4 化合物**1**对肿瘤细胞的抑制作用

采用MTT法测定了化合物**1**对人早幼粒白血病HL-60细胞、人乳腺癌Bcap37细胞、人肝癌SMMC7721细胞和小鼠白血病P388细胞生长的影响。结果见表2。其半数抑制浓度(IC<sub>50</sub>)值分别在16.27~33.27 μmol/L。说明化合物**1**对4种肿瘤细胞均具有一定的细胞毒作用,对Bcap37和HL-60细胞的抑制作用较强。

表2 化合物**1**的抗肿瘤活性(72 h)

Table 2 Antitumor activity of compound **1** (72 h)

化合物	IC <sub>50</sub> /(μmol·L <sup>-1</sup> )			
	HL-60	Bcap37	SMMC7721	P388
DDP(阳性对照)	4.31	7.28	6.78	5.91
<b>1</b>	18.24	16.27	23.43	33.27

#### 参考文献

- 中国科学院中国植物志编辑委员会. 中国植物志 [第71(1)卷]. [M]. 北京: 科学出版社, 1999.
- 江苏省植物研究所. 新华本草纲要(第1册) [M]. 上海: 上海科学技术出版社, 1988.
- Permana D, Lajis N H, Othman A G, et al. Anthraquinones from *Hedyotis herbacea* [J]. *J Nat Prods*, 1999, 62(10): 1430-1431.
- Le H D, Phung N K P. Anthraquinones from *Hedyotis pinifolia* [J]. *J Chem*, 2009, 47(5): 581-585.
- Ahmad R, Shaari K, Lajis N H, et al. Anthraquinones from *Hedyotis capitellata* [J]. *Phytochemistry*, 2005, 66(10): 1141-1147.
- Phuong N M, Van Sung T, Schmidt J, et al. Capitelline-A new indole alkaloid from *Hedyotis capitellata* [J]. *Nat Prod Lett*, 1998, 11(2): 93-100.
- Phuong N M, Van Sung T, Porzel A, et al. Two new β-carboline alkaloids from *Hedyotis capitellata* var. *mollis* [J]. *Planta Med*, 1999, 65(8): 761-762.
- Peng J N, Feng X Z, Liang X T. Two new iridoids from *Hedyotis chrysotricha* [J]. *J Nat Prods*, 1999, 62(4): 611-612.
- Ye M, Su J J, Liu S T, et al. (24S)-Ergostane-3β, 5α, 6β-triol from *Hedyotis chrysotricha* with inhibitory activity on migration of SK-HEP-1 human hepatocarcinoma cells [J]. *Nat Prod Res*, 2013, 27(12): 1136-1140.
- 袁青梅, 杨红卫, 赵静峰, 等. 纤花耳草化学成分的分离与鉴定 [J]. 中草药, 2004, 35(9): 981-982.
- Luo P, Su J, Zhu Y, et al. A new anthraquinone and eight constituents from *Hedyotis caudatifolia* Merr. et Metcalf: Isolation, purification and structural identification [J]. *Nat Prod Res*, 2016, 30(19): 2190-2196.
- Ge Y C, Zhang H J, Wang K W, et al. Aporphine alkaloids from *Illicium aromatica* from Guangxi province, China [J]. *Phytochemistry*, 2018, 154: 73-76.
- Wang K W, Li D, Wu B, et al. New cytotoxic dimeric and trimeric coumarins from *Chimonanthus salicifolius* [J]. *Phytochem Lett*, 2016, 16: 115-120.
- 李曼娜. 紫苏粕中咖啡酸-3-O-葡萄糖苷的提取与富集工艺优化 [D]. 北京: 北京林业大学, 2016.
- 韵小娟, 舒火明, 纪明慧, 等. 厚皮树树皮的化学成分研究 [J]. 化学研究与应用, 2012, 24(4): 610-613.
- 沈玉萍, 钟雄雄, 余筱洁, 等. 中药香椿叶的化学成分研究 [J]. 中国药学杂志, 2013, 48(1): 22-24.
- 林朝展, 祝晨藻, 邓贵华, 等. 枇杷叶紫珠化学成分研究 [J]. 中药材, 2010, 33(6): 897-900.
- 潘萍, 孙启时. 大叶紫珠的化学成分 [J]. 沈阳药科大学学报, 2006, 23(9): 565-567.
- 代华年, 马国需, 邹节明, 等. 金樱子根三萜类的化学成分研究 [J]. 中草药, 2016, 47(3): 374-378.
- Thuong P T, Lee C H, Dao T T, et al. Triterpenoids from the leaves of *Diospyros kaki* (Persimmon) and their inhibitory effects on protein tyrosine phosphatase 1B [J]. *J Nat Prods*, 2008, 71(10): 1775-1778.
- 卢汝梅, 杨长水, 韦建华. 荔枝草化学成分的研究 [J]. 中草药, 2011, 42(5): 859-862.
- 刘普, 段宏泉, 潘勤, 等. 委陵菜三萜成分研究 [J]. 中国中药杂志, 2006, 31(22): 1875-1879.